



Laboratorium EMVO Sp. J. Urbański, Pawelak  
ul. Jasna 1  
00-013 Warszawa

tel. +48 22 780 29 64  
e-mail: laboratorium@emvo.pl



AB 1630

## Sprawozdanie z pomiarów pól elektromagnetycznych - środowisko nr 106/03/OŚ/2023– P4-W



<b>Nr i nazwa stacji</b>	<b>SDC3311A</b>	
<b>Adres</b>	<b>Ujrzanów, dz. nr 709/5, pow. siedlecki, woj. mazowieckie</b>	
<b>Opracowanie</b>	<b>Martyna Karczmarczyk</b>	<b>Specjalista ds. pomiarów</b>
<b>Autoryzacja</b>	<b>Andrzej Urbański</b>	<b>Kierownik Laboratorium</b>
<b>Podpis</b>		
<b>Data</b>	<b>2023-04-04</b>	

## Spis treści

1. Informacje ogólne.....	3
2. Podstawa prawna. ....	3
3. Opis pomiarów.....	4
4. Zróżnicowanie dopuszczalne poziomy pól elektromagnetycznych.....	5
5. Charakterystyka źródeł PEM.....	5
6. Wyniki pomiarów.....	5
7. Stwierdzenie zgodności .....	6
8. Oświadczenie.....	8
9. Spis załączników. ....	8

## 1. Informacje ogólne.

Zleceniodawca	<b>P4 sp. z o.o.,</b> ul. Wynałazek 1, 02-677 Warszawa osoba udzielająca informacji- Monika Bieroza
Istotne informacje dostarczone przez klienta	komplet informacji niezbędnych do wykonania pomiarów i opracowania sprawozdania
Dane otrzymane od klienta mogące mieć wpływ na ważność wyników	Dane anten sektorowych, dane anten radioliniowych, parametry pracy instalacji, ustawienie pochylenia anten
Prowadzący instalację	P4 sp. z o.o., ul. Wynałazek 1, 02-677 Warszawa
Lokalizacja obiektu	Ujrzanów, dz. nr 709/5, pow. siedlecki, woj. mazowieckie
Miejsce instalacji anten	Wieża kratowa
Miejsce instalacji urządzeń	Outdoor
Osoby wykonujące pomiar	Wojciech Kaczorek
Data wykonania pomiaru	04.04.2023
Temperatura na początku pomiaru [°C]	3,0
Temperatura na koniec pomiaru [°C]	3,0
Warunki atmosferyczne	Brak opadów
Wilgotność na początku pomiaru [%]	50,0
Wilgotność na koniec pomiaru [%]	50,0
Godzina na początku pomiaru	11:00
Godzina na koniec pomiaru	12:48
Inne źródła pól elektromagnetycznych oznaczone na załączniku graficznym	Występują
Parametry pracy instalacji	Tryb eksploatacyjny

## 2. Podstawa prawna.

### 2.1 Normy i rozporządzenia:

- Rozporządzeniem Ministra Klimatu z dnia 17 lutego 2020 r. w sprawie sposobów sprawdzania dotrzymania dopuszczalnych poziomów pól elektromagnetycznych w środowisku (Dz.U. 2020 poz. 258)
- Rozporządzenie Ministra Zdrowia z dnia 17 grudnia 2019 r. w sprawie dopuszczalnych poziomów pól elektromagnetycznych w środowisku (Dz.U. 2019 poz. 2448)
- Obwieszczenie Marszałka Sejmu Rzeczypospolitej Polskiej z dnia 29 września 2021 r. w sprawie ogłoszenia jednolitego tekstu ustawy - Prawo ochrony środowiska (Dz.U. 2021 poz. 1973)
- Rozporządzenie Ministra Klimatu i Środowiska z dnia 6 maja 2022 r. zmieniające rozporządzenie w sprawie sposobów sprawdzania dotrzymywania dopuszczalnych poziomów pól elektromagnetycznych w środowisku (Dz.U. 2022 poz. 1121).

„Bez pisemnej zgody Laboratorium niniejsze sprawozdanie nie może być powielane inaczej, jak tylko w całości. Ponadto wyniki dotyczą tylko badanych obiektów przywołanych w niniejszym sprawozdaniu z badań”

### 3. Opis pomiarów

Metodologia pomiarowa	Pomiary w oparciu o Rozporządzeniem Ministra Klimatu z dnia 17 lutego 2020 r. w sprawie sposobów sprawdzania dotrzymania dopuszczalnych poziomów pól elektromagnetycznych w środowisku (Dz.U. 2020 poz. 258) oraz Rozporządzenie Ministra Klimatu i Środowiska z dnia 6 maja 2022 r. zmieniające rozporządzenie w sprawie sposobów sprawdzania dotrzymywania dopuszczalnych poziomów pól elektromagnetycznych w środowisku (Dz.U. 2022 poz. 1121).
Cel badań	Określenie wartości natężenia pola elektrycznego w miejscach dostępnych dla ludności.
Opis zestawu pomiarowego	Miernik Narda NBM 550, Sonda EF9091, o zakresie pomiarowym 0,7 V/m - 300V/m pracująca w paśmie 0,1 – 90 GHz, świadectwo wydane przez Laboratorium Wzorców i Metrologii Pola Elektromagnetycznego, Instytut Telekomunikacji, Teleinformatyki i Akustyki Politechniki Wrocławskiej. Świadectwo ważne do 10.06.2024r. Miernik Narda NBM 550, Sonda EF9091 pracująca w zakresie temperatury -10°C +50°C oraz wilgotności 5% - 95%. Niepewność rozszerzona 59% przy poziomie ufności 95% z uwzględnieniem współczynnika rozszerzenia k=2.
Wyposażenie pomocnicze	Termohigrometr Termoprodukt, typ: Termik+, Nr. inwentarzowy 43/WL, nr identyfikacyjny 1530619, świadectwo wzorcowania nr 0392/AH/20 z dn. 02.03.2020 r. wydane przez Laboratorium Pomiarowe "MUTECH". Dalmierz laserowy BOSH GLM 40, Nr. inwentarzowy 27/WL, nr seryjny 711425432, Świadectwo wzorcowania L4-L41.4180.141.2018.3061.1 z dnia 12 września 2018 wydane przez Pracownia Długości Samodzielnego Laboratorium Długości w Głównym Urzędzie Miar. GPS Garmin 64s okresowo sprawdzany w punktach osnowy geodezyjnej klasy 3 na podstawie licencji punktu, zgodnie z procedurą sprawdzeń okresowych IS/PO16-11/03.
Pomiary zostały wykonane	<ol style="list-style-type: none"><li>1. na głównych i pomocniczych kierunkach pomiarowych, na kierunkach zbliżonych do azymutów anten oraz w dodatkowych pionach pomiarowych zgodnie z wymaganiami pkt 12, 13, 14 i 19 Rozporządzenia Ministra Klimatu z dnia 17 lutego 2020 r. (Dz. U. 2020, poz. 258) oraz Rozporządzenia Ministra Klimatu i Środowiska z dnia 6 maja 2022 r. zmieniającego rozporządzenie w sprawie sposobów sprawdzania dotrzymywania dopuszczalnych poziomów pól elektromagnetycznych w środowisku (Dz.U. 2022 poz. 1121).</li><li>2. na obszarze pomiarowym, dla którego, na podstawie uprzednio przeprowadzonych obliczeń stwierdzono w miejscach dostępnych dla ludności występowanie pól elektromagnetycznych o najwyższym poziomie, które pochodzą z badanej instalacji zgodnie z wymaganiami pkt 5 ppkt 2 oraz pkt 13 ppkt 1 Rozporządzenia Ministra Klimatu z dnia 17 lutego 2020 r. w sprawie sposobów sprawdzania dotrzymania dopuszczalnych poziomów pól elektromagnetycznych w środowisku (Dz. U. 2020, poz. 258) oraz Rozporządzenia Ministra Klimatu i Środowiska z dnia 6 maja 2022 r. zmieniającego rozporządzenie w sprawie sposobów sprawdzania dotrzymywania dopuszczalnych poziomów pól elektromagnetycznych w środowisku (Dz.U. 2022 poz. 1121). Wyniki obliczeń nie uwzględniały parametrów pracy instalacji innych operatorów występujących na obiekcie bądź w obszarze pomiarowym.</li><li>3. w miejscach dostępnych dla ludności.</li><li>4. miejsca niedostępne podczas wykonywania pomiarów wskazane zostały w pkt 6 (tabeli wyniki pomiarów).</li></ol>

Szczególne warunki podczas wykonywania pomiarów

Pomiary wykonane zostały podczas obowiązywania w kraju stanu zagrożenia epidemicznego, zgodnie z art. 122a ust. 1b Ustawy z dnia 27 kwietnia 2001 r. – Prawo ochrony środowiska (Dz. U. z 2019 r. poz. 1396, z późn. zm.9)).

Warunki pracy urządzeń nadawczych

Tryb pracy eksploatacyjny.

#### 4. Zróżnicowanie dopuszczalne poziomy pól elektromagnetycznych.

Zakresy znajdują się w Dzienniku Ustaw z dnia 17 grudnia 2019 r. przedstawione są w tabeli nr 2 (Dz. U. z 2019r. poz. 2448).

Parametr fizyczny	Składowa elektryczna E (V/m)	Składowa magnetyczna H (A/m)	Gęstość mocy S (W/m <sup>2</sup> )
Zakres Częstotliwości pola elektromagnetycznego			
od 400 MHz do 2000 MHz	$1,375 \times f^{0,5}$	$0,0037 \times f^{0,5}$	f / 200
od 2 GHz do 300 GHz	61	0,16	10

#### 5. Charakterystyka źródeł PEM.

Zgodnie z informacją otrzymaną od Klienta pomiary zostały wykonane przy ustawieniach pochylecia anten zgodnych z pkt. 13, ppkt 2 Rozporządzenia Ministra Klimatu z dnia 17 lutego 2020 roku.

Tabela 1. Anteny sektorowe - dane otrzymane od klienta

Charakterystyka promieniowania		kierunkowa							
Rzeczywisty czas pracy [h/dobę]		24							
Rodzaj wytwarzanego pola		stacjonarne							
L	Wyszczególnienie	sektor 1				sektor 2			
p									
<b>Nadajnik stacji bazowej:</b>									
1	Typ / Producent	RBS / SRAN Ericsson							
2	Częstotliwość (pasmo) MHz	800	900	2100	1800	900	800	2100	1800
3	Maksymalna moc nadawana na sektor [dBm]	46,02	46,02	50,79	50,79	46,02	46,02	50,79	50,79
<b>Obciążenie:</b>									
1	Typ anteny	Huawei A794517R0	Kathrein 80010306	Kathrein 742213	Kathrein 742213	Kathrein 80010306	Huawei A794517R0	Kathrein 742213	Kathrein 742213
2	Producent anteny	Huawei	Kathrein	Kathrein	Kathrein	Kathrein	Huawei	Kathrein	Kathrein
3	Nazwa anteny	14_V	13_GT	11_HN	12_L	23_GT	24_V	21_HN	22_L
4	Ilość anten	1	1	1	1	1	1	1	1
5	Azymut	0				130			
6	Zakres kątów pochylecia anten [°]	0,00-10,00	0,50-9,50	0,00-6,00	0,00-6,00	0,50-9,50	0,00-10,00	0,00-6,00	0,00-6,00
7	Wysokość zainst. n.p.t. [m]	45,15	45,15	53,25	53,25	52,90	53,25	53,25	53,25
8	EIRP [W]	1904	2026	9460	8509	2026	1904	9460	8509

Charakterystyka promieniowania		kierunkowa			
Rzeczywisty czas pracy [h/dobę]		24			
Rodzaj wytwarzanego pola		stacjonarne			
Lp	Wyszczególnienie	sektor 3			
I	Nadajnik stacji bazowej:				
1	Typ / Producent	RBS / SRAN Ericsson			
2	Częstotliwość (pasmo) MHz	900	800	2100	1800
3	Maksymalna moc nadawana na sektor [dBm]	46,02	46,02	50,79	50,79
II	Obciążenie:				
1	Typ anteny	Kathrein 80010456	Huawei A794517R0	Kathrein 742219	Kathrein 742219
2	Producent anteny	Kathrein	Huawei	Kathrein	Kathrein
3	Nazwa anteny	31_GT	32_V	33_HN	34_L
4	Ilość anten	1	1	1	1
5	Azymut	260			
6	Zakres kątów pochylenia anten [°]	0,50-10,00	0,00-10,00	0,00-6,00	0,00-6,00
7	Wysokość zainst. n.p.t. [m]	53,10	53,25	53,25	53,25
8	EIRP [W]	4137	1904	14652	12300

Tabela 2. Anteny radioliniowe- dane otrzymane od klienta

Charakterystyka promieniowania		kierunkowa					
Rzeczywisty czas pracy [h/dobę]		24					
Rodzaj wytwarzanego pola		stacjonarne					
Lp	Linia radiowa			Antena			
	typ/producent	częstotliwość pracy [GHz]	moc wyjściowa [dBm]	typ/producent	średnica anteny [m]	azymut [°]	wysokość zainstal. [m]
1	OPTIX RTN/HUAWEI	23	21	VHLPX2-23/Andrew	0,6	128	50,50
2	OPTIX RTN/HUAWEI	32	26	VHLPX2-32/Andrew	0,6	192	50,50
3	OPTIX RTN/HUAWEI	80	18	VHLP2-80/Andrew	0,6	316	48,00
4	OPTIX RTN/HUAWEI	80	18	VHLP2-80/Andrew	0,6	335	50,50

## 6. Wyniki pomiarów.

Wyniki pomiarów pól elektromagnetycznych dla celów ochrony środowiska przedstawia poniższa tabela. Piony pomiarowe zostały przedstawione w zał. 2.

Nr PP	Pole-E [V/m]	Pole-E, +U [V/m]	Pole-H [A/m]	Pole-H +U [A/m]	Wys. pomiaru [m]	Opis pionu	Uwagi	WM <sub>E</sub>	WM <sub>H</sub>
1	1,1	1,75	0,003	0,005	0,3-2,0	N:52°07'59.8" E:22°19'27.2"	otoczenie stacji bazowej - 100m wzdłuż gł. osi promieniowania - GKP	0,062	0,064
2	0,9	1,43	0,002	0,004	0,3-2,0	N:52°08'06.4" E:22°19'27.7"	otoczenie stacji bazowej - 300m wzdłuż gł. osi promieniowania - GKP	0,051	0,052
3	0,8	1,27	0,002	0,003	0,3-2,0	N:52°08'09.6" E:22°19'27.9"	otoczenie stacji bazowej - 400m wzdłuż gł. osi promieniowania - GKP	0,045	0,046
4	0,7*	1,27	0,002	0,003	0,3-2,0	N:52°08'12.7" E:22°19'28.2"	otoczenie stacji bazowej - 500m wzdłuż gł. osi promieniowania- GKP	0,045	0,046
5	0,7*	1,27	0,002	0,003	0,3-2,0	N:52°08'13.7" E:22°19'28.2"	otoczenie stacji bazowej - 533m wzdłuż gł. osi promieniowania - GKP	0,045	0,046
6	1,1	1,75	0,003	0,005	0,3-2,0	N:52°07'54.2" E:22°19'31.1"	otoczenie stacji bazowej - 100m wzdłuż gł. osi promieniowania - GKP	0,062	0,064
7	1,0	1,59	0,003	0,004	0,3-2,0	N:52°07'52.1" E:22°19'34.7"	otoczenie stacji bazowej - 200m wzdłuż gł. osi promieniowania - GKP	0,057	0,058

„Bez pisemnej zgody Laboratorium niniejsze sprawozdanie nie może być powielane inaczej, jak tylko w całości. Ponadto wyniki dotyczą tylko badanych obiektów przywołanych w niniejszym sprawozdaniu z badań”  
106/03/OŚ/2023– P4-W

8	0,8	1,27	0,002	0,003	0,3-2,0	N:52°07'48.7" E:22°19'40.6"	otoczenie stacji bazowej - 350m wzdłuż gł. osi promieniowania - GKP	0,045	0,046
9	0,7*	1,27	0,002	0,003	0,3-2,0	N:52°07'46.7" E:22°19'44.4"	otoczenie stacji bazowej - 450m wzdłuż gł. osi promieniowania- GKP	0,045	0,046
10	0,7*	1,27	0,002	0,003	0,3-2,0	N:52°07'44.8" E:22°19'47.4"	otoczenie stacji bazowej - 533m wzdłuż gł. osi promieniowania - GKP	0,045	0,046
11	1,1	1,75	0,003	0,005	0,3-2,0	N:52°07'56.2" E:22°19'22.1"	otoczenie stacji bazowej - 100m wzdłuż gł. osi promieniowania - GKP	0,062	0,064
12	1,0	1,59	0,003	0,004	0,3-2,0	N:52°07'55.8" E:22°19'16.4"	otoczenie stacji bazowej - 200m wzdłuż gł. osi promieniowania - GKP	0,057	0,058
13	0,9	1,43	0,002	0,004	0,3-2,0	N:52°07'55.4" E:22°19'11.0"	otoczenie stacji bazowej - 300m wzdłuż gł. osi promieniowania - GKP	0,051	0,052
14	0,8	1,27	0,002	0,003	0,3-2,0	N:52°07'55.2" E:22°19'06.2"	otoczenie stacji bazowej - 400m wzdłuż gł. osi promieniowania- GKP	0,045	0,046
15	0,7*	1,27	0,002	0,003	0,3-2,0	N:52°07'54.7" E:22°19'01.3"	otoczenie stacji bazowej - 500m wzdłuż gł. osi promieniowania - GKP	0,045	0,046
16	0,7*	1,27	0,002	0,003	0,3-2,0	N:52°07'54.6" E:22°18'59.4"	otoczenie stacji bazowej - 533m wzdłuż gł. osi promieniowania - GKP	0,045	0,046
17	0,9	1,43	0,002	0,004	0,3-2,0	N:52°07'53.6" E:22°19'25.5"	otoczenie stacji bazowej - 100m wzdłuż gł. osi promieniowania - GKP	0,051	0,052
18	1,2	1,91	0,003	0,005	0,3-2,0	N:52°07'57.0" E:22°19'26.4"	otoczenie stacji bazowej - 15m wzdłuż gł. osi promieniowania - GKP	0,068	0,069
19	1,0	1,59	0,003	0,004	0,3-2,0	N:52°07'58.5" E:22°19'28.5"	otoczenie stacji bazowej -PKP	0,057	0,058
20	1,0	1,59	0,003	0,004	0,3-2,0	N:52°07'55.9" E:22°19'31.6"	otoczenie stacji bazowej -PKP	0,057	0,058
21	0,9	1,43	0,002	0,004	0,3-2,0	N:52°07'53.9" E:22°19'28.1"	otoczenie stacji bazowej -PKP	0,051	0,052
22	1,0	1,59	0,003	0,004	0,3-2,0	N:52°07'54.3" E:22°19'21.6"	otoczenie stacji bazowej -PKP	0,057	0,058
23	1,1	1,75	0,003	0,005	0,3-2,0	N:52°07'57.3" E:22°19'22.2"	otoczenie stacji bazowej - GKP	0,062	0,064
A	1,1	1,75	0,003	0,005	0,3-2,0	N:52°07'53.2" E:22°19'34.3"	Ujrzanów 121, pomiar przed posesją -DPP	0,062	0,064
B	0,8	1,27	0,002	0,003	0,3-2,0	N:52°07'51.9" E:22°19'37.0"	Ujrzanów 119B, pomiar przed posesją -DPP	0,045	0,046
C	0,8	1,27	0,002	0,003	0,3-2,0	N:52°07'51.2" E:22°19'38.2"	Ujrzanów 119A, pomiar przed posesją -DPP	0,045	0,046
D	0,9	1,43	0,002	0,004	0,3-2,0	N:52°07'50.3" E:22°19'39.0"	Ujrzanów 119, pomiar przed posesją -DPP	0,051	0,052
E	0,9	1,43	0,002	0,004	0,3-2,0	N:52°07'49.8" E:22°19'39.9"	Ujrzanów 117, pomiar przed posesją -DPP	0,051	0,052
F	0,8	1,27	0,002	0,003	0,3-2,0	N:52°07'48.7" E:22°19'42.0"	Ujrzanów 115, pomiar przed posesją -DPP	0,045	0,046
G	0,7*	1,27	0,002	0,003	0,3-2,0	N:52°07'47.0" E:22°19'46.0"	Ujrzanów 111A, pomiar przed posesją -DPP	0,045	0,046
H	0,7*	1,27	0,002	0,003	0,3-2,0	N:52°07'46.5" E:22°19'46.9"	Ujrzanów 110, pomiar przed posesją -DPP	0,045	0,046
I	1,0	1,59	0,003	0,004	0,3-2,0	N:52°07'58.4" E:22°19'23.3"	Ujrzanów 135A, pomiar przed posesją -DPP	0,057	0,058
J	1,0	1,59	0,003	0,004	0,3-2,0	N:52°08'00.5" E:22°19'25.8"	Ujrzanów 131, pomiar przed posesją -DPP	0,057	0,058
K	1,1	1,75	0,003	0,005	0,3-2,0	N:52°07'59.7" E:22°19'26.7"	Ujrzanów 129, pomiar przed posesją -DPP	0,062	0,064
L	1,2	1,91	0,003	0,005	0,3-2,0	N:52°07'57.0" E:22°19'28.5"	Ujrzanów 123, pomiar przed posesją -DPP	0,068	0,069
M	1,1	1,75	0,003	0,005	0,3-2,0	N:52°07'59.6" E:22°19'28.0"	Ujrzanów 126, pomiar przed posesją -DPP	0,062	0,064
N	1,1	1,75	0,003	0,005	0,3-2,0	N:52°08'00.1" E:22°19'27.2"	Ujrzanów 128, pomiar przed posesją -DPP	0,062	0,064
O	0,9	1,43	0,002	0,004	0,3-2,0	N:52°08'06.0" E:22°19'27.9"	Ujrzanów 130, pomiar przed posesją -DPP	0,051	0,052

Wynik pomiaru pole - E [V/m] - maksymalna wartość chwilowa zmierzona w danym pionie pomiarowym (uśredniona na podstawie punktu 11 załącznika do Rozporządzenia Ministra Klimatu z dnia 17 lutego 2020 r. w sprawie sposobów sprawdzania dotrzymania dopuszczalnych poziomów pól elektromagnetycznych w środowisku (Dz.U. 2020 poz. 258, Dz.U. 2022 poz. 1121)). Zgodnie z pkt. 7 załącznika do

„Bez pisemnej zgody Laboratorium niniejsze sprawozdanie nie może być powielane inaczej, jak tylko w całości. Ponadto wyniki dotyczą tylko badanych obiektów przywołanych w niniejszym sprawozdaniu z badań”

Rozporządzenia Ministra Klimatu z dnia 17 lutego 2020 r. w sprawie sposobów sprawdzania dotrzymania dopuszczalnych poziomów pól elektromagnetycznych w środowisku (Dz.U. 2020 poz. 258, Dz.U. 2022 poz. 1121) nie stosuje się poprawek pomiarowych.

Przyjęto najniższą dopuszczalną wartość składowej elektrycznej pola dla objętego pomiarami zakresu częstotliwości  $\min(ME_{gr}) = 28 \text{ V/m}$  oraz składowej magnetycznej  $\min(MH_{gr}) = 0,073 \text{ A/m}$ .

\* - wartość zmierzona poniżej zakresu akredytacji. Do obliczeń przyjęto wartość zgodną z dolną granicą akredytowanego zakresu pomiarowego metody.

GKP - główne kierunki pomiarowe

PKP - pomocnicze kierunki pomiarowe

DPP - dodatkowe punkty pomiarowe

PP - pion pomiarowy

U - niepewność pomiarowa rozszerzona, przy poziomie ufności 95%, z uwzględnieniem współczynnika rozszerzenia  $k=2$

$WM_E$  - wartość wskaźnikowa poziomu emisji pól elektromagnetycznych dla miejsc dostępnych dla ludności dla składowej elektrycznej pola

$WM_H$  - wartość wskaźnikowa poziomu emisji pól elektromagnetycznych dla miejsc dostępnych dla ludności dla składowej magnetycznej pola

## 7. Stwierdzenie zgodności

Na podstawie wytycznych podanych w Rozporządzeniu Ministra Zdrowia z dnia 17 grudnia 2019 r. w sprawie dopuszczalnych poziomów pól elektromagnetycznych w środowisku (Dz.U. 2019 poz. 2448) oraz sposobów sprawdzania dotrzymania tych poziomów zgodnie z Rozporządzeniem Ministra Klimatu z dnia 17 lutego 2020 r. w sprawie sposobów sprawdzania dotrzymania dopuszczalnych poziomów pól elektromagnetycznych w środowisku (Dz.U. 2020 poz. 258) oraz Rozporządzeniem Ministra Klimatu i Środowiska z dnia 6 maja 2022 r. zmieniającego rozporządzenie w sprawie sposobów sprawdzania dotrzymania dopuszczalnych poziomów pól elektromagnetycznych w środowisku (Dz.U. 2022 poz. 1121), dotyczących źródła wymagań, które muszą być spełnione, w oparciu o zasadę podejmowania decyzji zgodną z pkt. 26 Rozporządzenia Ministra Klimatu z dnia 17 lutego 2020 r. (Dz.U. 2020 poz. 258), na podstawie wyników pomiarów pól elektromagnetycznych wykonanych w dniu 04.04.2023 stwierdzono, że wszystkie wyniki przeprowadzonych pomiarów w danym obszarze pomiarowym oraz wyznaczone na tej podstawie wskaźniki  $WME$  oraz  $WMH$  są mniejsze od wartości dopuszczalnych – zgodnie z przepisami wydanymi na podstawie art. 122 ust. 1 ustawy z dnia 27 kwietnia 2001 r. – Prawo ochrony środowiska – załącznikiem do Rozporządzenia Ministra Klimatu i Środowiska z dnia 17 lutego 2020 r. w sprawie sposobów sprawdzania dotrzymania dopuszczalnych poziomów pól elektromagnetycznych w środowisku (Dz.U. 2020 poz. 258, pkt 26).

## 8. Oświadczenie.

Wyniki badania odnoszą się wyłącznie do badanego obiektu.

Bez pisemnej zgody sprawozdanie nie może być powielane inaczej, jak tylko w całości.

Uwagi i zastrzeżenia przyjmowane są w formie pisemnej.

## 9. Spis załączników.

Zał. 1. Lokalizacja obiektu.

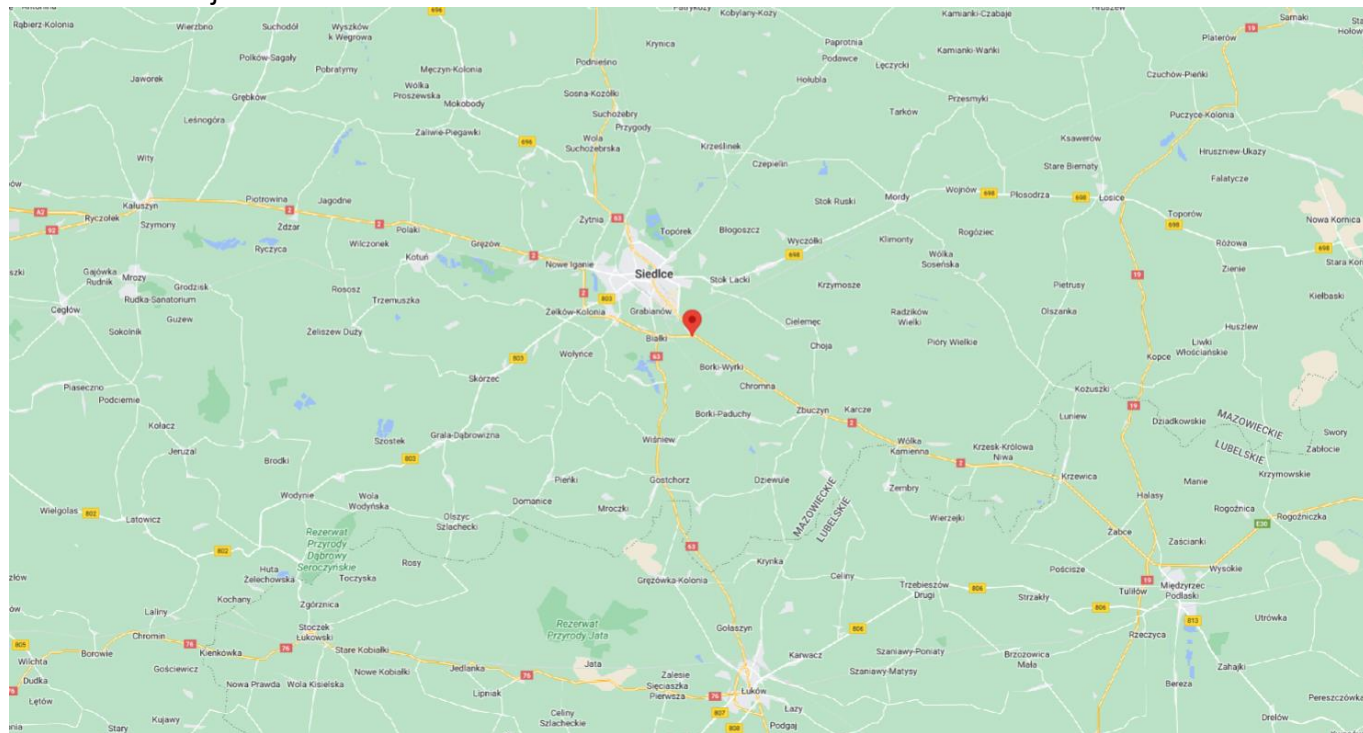
Zał. 2. Widok pionów pomiarowych

Zał. 3. Załączniki graficzne

**Koniec sprawozdania**



## Zał. 1. Lokalizacja obiektu




Współrzędne geograficzne	
długość:	22°19'30.60"E
szerokość:	52°07'56.40"N


## Załącznik 2. Widok pionów pomiarowych




### LEGENDA:

 inna instalacja radiokomunikacyjna

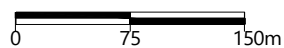
 brak dostępu

 pion pomiaru

 antena sektorowa

 antena radioliowa

Skala:1:6000

 0 75 150m

Zał. 3. Załączniki graficzne.

